

Br_2

[Mr. 17946]

1983

99: 221326g A new ion-pair state of molecular bromine. Ishiwata, Takashi; Shinzawa, Tsutomu; Tokunaga, Atsuto; Tanaka, Ikuzo [Dep. Chem., Tokyo Inst. Technol., Tokyo, Japan 152]. *Chem. Phys. Lett.* 1983, 101(4-5), 350-2 (Eng). A new ion-pair state of Br_2 , designated as $F(0_u^+)$, was identified. The excitation to this state was performed by a sequential 3-photon transition through the $B^3\Pi_{0_u^+}$ state. The mol. parameters were $T_e = 53900.5(8)$, $\omega_e = 154.8(8)$, $\omega_{e,x} = 0.78(20)$, and $B_e = 0.03970(17) \text{ cm}^{-1}$ for the $F(0_u^+)$ ion-pair state, which correlates to $\text{Br}^{-}(^1S) + \text{Br}^{+}(^3P_0)$.

$F(0_u^+)$

Mr. n.



C.A. 1983, 99, N26

Bz2

On. 17946

1983

З Л458. Новое ионное состояние Br_2 . A new ion-pair state of Br_2 . Ishiwata Takashi, Shinzawa Tsutomu, Tokunaga Atsuto, Tanaka Ikuo. «Chem. Phys. Lett.», 1983, 101, № 4—5, 350—352 (англ.)

Методом возбуждаемой лазером флуоресценции изучены спектроскопич. свойства высоковозбужденного состояния $\text{Br}_2F(0_u^+)$. Молекулы Br_2 возбуждали последовательным поглощением 3 фотонов излучения импульсного перестраиваемого УФ-лазера. На основании полученных спектров флуоресценции и спектров возбуждения флуоресценци определены молекулярные постоянные состояния $F(0_u^+)$ (см^{-1}): $T_e = 53\ 900,5$; $\omega_e = 154,8$; $\omega_c x_e = 0,78$ и $B_e = 0,0397$. Отмечено, что молекулярные постоянные состояния $F(O_u^+)$, коррелирующего с образованием ионной пары $\text{Br}^-(^1S) + \text{Br}^+(^3P_0)$, близки к аналогичным параметрам других ионных состояний Br_2 . Е. Н. Т.

З Л459. Скорость реакций радикалов C_2O с H и H_2 . The rate of the reactions of C_2O radicals with H and H_2 . Horie O., Bauer W., Meusel R., Schmidt V. H.,

cf. 1984, 18, N3

Becker K. H. «Chem. Phys. Lett.», 1983, 100, № 3,
251—254 (англ.)

Методом индуцированной лазером флуоресценции ис-
следована кинетика реакций $C_2O + H$ (I) и $C_2O + H_2$ (II)
при комнатной т-ре. Образование радикалов C_2O проис-
ходило в процессе лазерного (KrF-лазер) фотолиза C_3O_2 ,
или в ходе реакции C_3O_2 . По эксперим. данным рассчи-
таны константы скорости I и II (в $\text{см}^3 \text{ с}^{-1}$): $(3,7 \pm$
 $\pm 1,0) \cdot 10^{-11}$ и $(7 \pm 3) \cdot 10^{-13}$ соответственно. M. T.

ассм
чт

B₂

дн. 17.9.46

1983

5 Б1127. Новое ионно-парное состояние Br₂. A new ion-pair state of Br₂. Ishiwata Takashi, Shinzawa Tsutomu, Tokunaga Atsuto, Tanaka Ikuo. «Chem. Phys. Lett.», 1983, 101, № 4—5, 350—352 (англ.)

Идентифицировано новое ионно-парное состояние молекулы ⁷⁹Br₂, обозначенное как F(O_u⁺), коррелирующее с Br⁻(¹S) + Br⁺(³P₀). Молекулы Br₂ получались в результате трехфотонного возбуждения по схеме $X^1\Sigma_g^+ \xrightarrow{h\nu} B^3\Pi(O_u^+) \xrightarrow{2h\nu} F(O_u^+)$ (полоса 16—0, линии R₆₃, R₆₇, R₄₁; 17—0, R₆₃, R₆₅; 19—1, P₅₃, P₂₃, P₂₆) → F(O_u⁺) (соотв. 0—16, Q₆₂, Q₆₈; 1—16, Q₄₂; 2—17, Q₆₂, S₆₆; 2—19, Q₅₂, 3—19, Q₂₂; 3—10, Q₂₇). Для возбуждения использовался перестраиваемый лазер на красителе. Регистрировалась флуоресценция, связанная с переходом F → X. Значения мол. постоянных ⁷⁹Br₂ в состоянии F(O_u⁺) (в см⁻¹): T_e=53900,5, ω_e=154,8, ω_ex_e=0,78, B_e=0,03970, α_e=6,8·10⁻⁵, D=1,0·10⁻⁸.

В. М. Ковба

Х. 1984, 19, N 5

Br_2

1983

King G. W., Littlewood
N.T., et al.

Oyenkova Chem. Phys., 1983, 81,
Do; N1-2, 13-19.

(See. LiX ; III)

Bz₂

[Om. 17651]

1183

шелушение.
ромашки,
превращает
при повышен-
ных рах.

Кирюшин И.А., Пон-
жиков В.А.,

ж. физ. хими, 1983,
57, №9, 2346 - 2347.

Br_2
изотопов,
аналог.

(У Кимкова)

1983

Приванова Т.А., Парамасенко В.В.

Внутрирентгенорентированная спектроскопия фотовоздушной среды Br_2 .

Тезисы докл. XIX Всесоюзного Съезда
по спектроскопии, Томск, 1983.

Br₂

1983

24 Б167. Исследование Br₂-кластеров в аргоновых матрицах методом разрешенной по времени абсорбционной спектроскопии в видимой и УФ-области. Time resolved visible and UV absorption spectroscopy of bromine clusters in argon matrices. Raffel B., Wolf J. «Ber. Bunsenges. Phys. Chem.», 1983, 87, № 8, 643—648 (англ.)

*Спектр
в матрице*

Для колич. измерения спектров поглощения Br₂ в Аг-матрице разработана усовершенствованная методика измерения толщины напыляемой матрицы, основанная на интерференции лазерного пучка. Исследование спектров поглощения матриц Br₂/Ag (1 : 1000—1 : 300) при $\lambda=300$ нм и 415 нм показало закономерное повышение мол. коэф. поглощения с повышением конц-ии Br₂, что связывается с образованием димеров и тримеров молекулы Br₂ при напылении матрицы. Применение к процессу напыления теории коагуляции позволило определить относит. конц-ии кластеров, напр., при

X. 1983, 19, № 24

конц-ии 150 моль/м³ отношение мономер : димер : три-
мер = 0,836 : 0,072 : 0,006. При воздействии на исследуе-
мые матрицы лазерным импульсом с $\lambda=490$ нм заре-
гистрировано временное повышение коэф. поглощения в
области поглощения димера (<370 нм). Это повыше-
ние предположительно отнесено за счет лазерного воз-
буждения молекул Br₂, находящихся в форме димера,
в состояние $B^3\Pi(O_u^+)$ и последующей дезактивации до
основного состояния $X^1\Sigma_g^+$. Сделана попытка оценки
кинетич. параметров этого процесса. Л. Н. Марголин



Br₂

1983

ЗЛ197. Разрешенная во времени абсорбционная спектроскопия кластеров брома в Аг-матрице в видимой и УФ-областях. Time resolved visible and UV absorption spectroscopy of bromine clusters in argon matrices. Raffel B., Wolfrum J. «Ber. Bunsenges. phys. Chem.», 1983, 87, № 8, 643—648 (англ.).

В области 300—540 нм получены разрешенные во времени спектры поглощения молекул Br₂ в Аг-матрице (разбавление 1/300—1/1000) при т-ре 10К. Подробно описана процедура получения образцов и контроля их толщины. Увеличение интенсивности поглощения на длинах волн 300—415 нм, наблюдающееся с увеличением конц-ии Br₂, отнесено к образованию димеров (Br₂)₂. Увеличение поглощения в области короче 370 нм связано с возбуждением входящих в димеры молекул Br₂ в состояние $B^3\pi(0_u^+)$. Библ. 16.

М. Т.

(78) (Br₂)

ф. 1984, 18, № 3

B^r₂

1983

Spiegelman Fernard.

Thèse. Doct. état-sci.

parmi phys. mol. Univ. Paul
Sabatier Toulouse, 1983.
81; Var. pag., ill.

(cuv. B^r₂; III)

Br₂

1984

4 Л228. Теория степени деполяризации линий в спектрах резонансного комбинационного рассеяния двухатомных молекул при возбуждении в континууме энергетических состояний и ее применение к $^{79}\text{Br}_2$. Theory of depolarization ratios in diatomic molecules for continuum resonance Raman scattering and application to $^{79}\text{Br}_2$. Baierl P., Kiefer W. «J. Raman Spectrosc.», 1984, 15, № 5, 360—365 (англ.)

Развита теория резонансного комб. рас. двухатомных молекул при возбуждении рассеяния в континууме энергетич. состояний выше, границы диссоциации этих молекул с использованием приближения Борна — Оппенгеймера и выражения Герцберга — Теллера для электронного момента перехода. Получены выражения для интенсивности линий комб. рас. при резонансе

спектр

φ. 1985, 18, N4.

частоты возбуждающего света с электронными полосами диссоциации или возбужденного состояния, соответствующего переводу электрона на антисвязывающую орбиталь. Проведен расчет степени деполяризации ρ компонент Q -полосы колебания молекул $^{79}\text{Br}_2$, а также полос «горячих» переходов в системе уровней этих молекул при различных частотах возбуждающего излучения. Отмечено удовлетворительное согласие теоретич. и экспериментальных значений ρ в спектрах молекул $^{79}\text{Br}_2$ в газовой фазе. И. В. А.

Br₂

(Jan. 19900) 1984

101: 100339q Functional form for representing all vibrational eigenenergies of a diatomic molecule state. IV. Application to the molecular bromine $B(^3\Pi_{0u^+})$ state. Beckel, Charles L.; Kwong, Robin B.; Hashemi-Attar, Ali Reza; Le Roy, Robert J. (Dep. Phys. Astron., Univ. New Mexico, Albuquerque, NM 87131 USA). *J. Chem. Phys.* 1984, 81(1), 66-72 (Eng). A composite expression for diat. vibrational energy levels is tested by application to the B state of Br_2 . The form is $E_v = D - (v_D - v)^m [L/N]$, where E_v is the energy of vibrational level v , D the dissociation limit, v_D the value of v at dissociation, and $[L/N]$ a ratio of polynomials in $(v_D - v)$. This functional form with a variety of $[L/N]$ is fitted to exptl. data for $^{79,79}Br_2$. The best fits, both with m variable and with m fixed at the value 10/3 predicted by near-dissociation theory, have an overall root-mean square error of 0.015 cm⁻¹. The best fits with $m : 10/3$ all yield realistic ests. of the coeff. C_6 (of R^{-6} , with R nuclear sepn.) in the long-range potential; moreover, fixing m at 10/3 offers computational and interpretational advantages. Analogous fits to Dunham polynomials

(proposed
Heppelle
 $B^3\Pi_{0u^+}$)

c.A. 1984, 101, N 12

in ($v + 1/2$) are distinctly less reliable than these composite near-dissocn. expansion (NDE) functions with m fixed or variable. To test the interpolation and low- v extrapolation power of the composite functions, fits were made with 12 of the 56 E_v excluded from the data set; the NDE functions again perform as well as or better than Dunham polynomials. In addn., use of W. C. Stwalley's (1970) mass-reduced quantum nos. in the best of the $m = 10/3$ functions obtained for $^{79,79}\text{Br}_2$ yields predicted vibrational spacings for $^{81,81}\text{Br}$ with errors ($<0.03 \text{ cm}^{-1}$) only slightly larger than the exptl. uncertainties.

Br₂

01. 19900

1984

ЗД71. Функциональная форма для представления всех собственных значений колебательной энергии двухатомных молекул. IV. Применение к $B(^3P_{0u}^+)$ -состоянию Br_2 . Functional form for representing all vibrational eigenenergies of a diatomic molecule state. IV. Application to the Br_2 $B(^3P_{0u}^+)$ state. Beckel Charles L., Kwong Robin B., Hashemi Attar Ali-Reza, Le Roy Robert J. «J. Chem. Phys.», 1984, 81, № 1, 66—72 (англ.)

Предложенная ранее (Le Roy R. J. et al. «Chem. Phys. Lett.», 1980, 71, 544) функциональная форма для зависимости собств. значений колебательной энергии от номера квантового числа, пригодная для энергий как вблизи минимума потенциала, так и вблизи диссоциативного предела, применяется к случаю $B(^3P_{0u}^+)$ -состояния молекулы Br_2 . Эта ф-ция имеет вид $E_v = D - (v_D - v)^m \cdot [L/M]$, где E_v — энергия колебательного уровня v , v_D — значение v в пределе диссоциации, D — энергия диссоциации, $[L/M]$ — отношение полиномов степени L и M .

расчет E;

cf. 1985, 18, n 3

по $(v - v_D)$ с коэф., рассматриваемыми как подгоночные параметры. Лучшая подгонка при $m = 10/3$ дает величину общей средней погрешности $0,015 \text{ см}^{-1}$. Отмечается, что подгонка с $m = 10/3$ дает для коэф. C_5 в разложении по степеням R^{-1} дальнодействующей части потенциала значения, очень близкие к истинным. Аналогичная подгонка с использованием полиномов Данхэма по $(v + 1/2)$ приводит к менее реалистичным данным. Для исследования возможности получения энергий неизвестных уровней из процедуры подгонки исключались несколько уровней энергии и затем предсказывались на основе полученного выражения их значения. Во всех случаях была получена высокая точность. Ч. III см. «J. Chem. Phys.», 1980, 73, 4698.

А. А. Зембеков

актив

Br₂

0m. 19 900

1984

1 Б1052. Функциональная форма для представления всех колебательных энергий электронного состояния двухатомной молекулы. IV. Применение к состоянию $B^3\Pi_{ou}^+$ Br₂. Functional form for representing all vibrational eigenenergies of a diatomic molecule state. IV. Application to the Br B ($^3\Pi_{ou}^+$) state. Beckel Charles L., Kwong Robin B., Hashemi-Attar Ali-Reza, Le Roy Robert J. «J. Chem. Phys.», 1984, № 1, 66—72 (англ.)

Предложенная ранее авторами («J. Chem. Phys.», 1979, 70, 3881) ф-ла для колебательных уровней энергии двухатомных молекул $E_v = D - (v_D - v)^m (L/N)$, где D — энергия диссоциации, v_D — максим. значение v , L и N — полиномы от $(v_D - v)$, применена к состоянию $B_3\Pi_{ou}^+$ молекулы Br₂, потенциальная кривая к-рого при больших межъядер-

M. N., §i;

X. 1985, 19, N1.

ных расстояниях R имеет форму $D - C_5 R^5$. Выражение одинаково хорошо описывает эксперим. колебательные уровни как при малых значениях v , так и вблизи диссоциац. предела; среднеквадратичная ошибка составила $0,015 \text{ см}^{-1}$ при использовании 9 оптимизируемых параметров. Близкие результаты получены как при варьировании m , так и при использовании фиксированного значения $m=10/3$, следующего из асимптотич. теории. Показано, что ф-ла может быть использована для интерполяции и экстраполяции в области малых v ; при фиксированных теор. значениях m возможна экстраполяция для больших v . Использование приведенных по массе колебательных квантовых чисел в функции, оптимизированной для $^{79,79}\text{Br}_2$, позволило предсказать колебательные уровни $^{81,81}\text{Br}_2$ с ошибками, не превосходящими $0,03 \text{ см}^{-1}$.

А. А. Сафонов

1984

Br₂

№ 12 Л308. Фотодиссоциация бромазида. Ч. II. Образование $\text{Br}_2(D'^3\Pi_2g)$. Photodissociation of bromine azide. II. Production of $\text{Br}_2(D'^3\Pi_2g)$. Coombe R. D., Lam C. H.-T. «J. Chem. Phys.», 1984, 80, № 7, 3106—3113 (англ.)

Исследованы механизмы образования молекул $\text{Br}_2(D'^3\Pi_2g)$ (I) при лазерном УФ-фотолизе смеси $\text{N}_2 + \text{BrN}_3$. Регистрация I осуществлялась по излучению $\text{Br}_2(D'^3\Pi_2g) \rightarrow A'(^3\Pi_2u)$. Предложен следующий фотохимич. механизм образования I: $\text{BrN}_3 \xrightarrow{h\nu} \text{NB}\dot{\text{r}} + \text{N}_2(A) \cdot (\text{m}\text{n}\text{Br} + \text{N}_3)$, $\text{Br}\cdot + \text{BrN}_3 \xrightarrow{k_5} \text{Br}_2(A') + \text{N}_2 + \text{N}$, $\text{N}_2(A) + \text{Br}_2(A') \xrightarrow{k_6} \text{Br}_2(D') + \text{N}_2(X)$. На основании исследования спектра излучения $D' \rightarrow A'$ с разрешением во времени установлена возможность образования I и по другому механизму без участия метастабильных молекул $N_2(A)$. Определено также значение величины $k_5 = (3,0 + 0,5) \cdot 10^{-11} \text{ см}^3 \cdot \text{молек}^{-1} \cdot \text{с}^{-1}$ и получена оценка снизу для величины $k_6 \geq 1,5 \cdot 10^{-10} \text{ см}^3 \cdot \text{молек}^{-1} \cdot \text{с}^{-1}$. (Ч. I. см. Coombe R. D. et al. «J. Chem. Phys.», 1983, 79, 3746).

B. A. E.

*фотодиссо-
гезия**φ 1984, 18, N 12*

Br₂

1984

23 Б4364. Фотодиссоциация азида брома. II. Образование Br₂(D'³Π_{2g}). Photodissociation of bromine azide. II: Production of Br₂(D'³Π_{2g}). Coombe R. D., Lam C. H.-T. «J. Chem. Phys.», 1984, 80, № 7, 3106—3113 (англ.)

Изучено тушение метастабильного N₂(A³Σ_u⁺) бромом и фотодиссоциация BrN₃ с целью выяснения механизма образования Br₂(D'³Π_{2g}) и излучения при переходе Br₂(D'³Π_{2g}) → (A'³Π_{2u}). Показано, что Xл, возникающая при смешивании потоков N₂(A) и Br₂, относится к переходу Br₂ (D'—A'). N₂(A) тушится молекулами брома значительно медленнее ($k=5 \cdot 10^{-13}$ см³/с), чем молекулами NO. Показано, что механизм возникновения свечения D'—A' на временах до 5 мкс отличается от механизма на более длинных временах. До 5 мкс интенсивность свечения I зависит линейно от мощности Φ (и пропорциональна конц-ии BrN₃), на больших временах (5—50 мкс) квадратично. Для больших времен предложена след. модель, объясняю-

СЛЕДУЮЩИЙ

X. 1984, 19, № 23

hν

щая наблюдаемые эксперим. факты: $\text{BrN}_3 \rightarrow \text{NBrg} + \text{N}_2(A)$ или $\text{Br} + \text{N}_3$; $\text{Br} + \text{BrN}_3 \rightarrow \text{Br}_2(A') + \text{N}_2 + \text{N}$ (5); $\text{N}_2(A) + \text{Br}_2(A') \rightarrow \text{Br}_2(D') + \text{N}_2(X)$ (6); $\text{N}_2(A) + \text{BrN}_3 \rightarrow$ продукты; $\text{Br}_2(D') \rightarrow \text{Br}_2(A') + h\nu$; $k_5 = 3 \cdot 10^{-11}$, и $k_6 \geq 1,5 \cdot 10^{-10} \text{ см}^3/\text{с}$. Механизм свечения на малых временах пока не выяснен, можно лишь сказать, что он не связан с прямой передачей энергии (ПЭн) с метастабильного азота. Тот факт, что, несмотря на малый дефект резонанса, скорость ПЭн с $\text{N}_2(A)$ на Br_2 мала, позволил с учетом лит. данных, сделать вывод об определяющем значении франк-кондоновского фактора в ПЭн. На основании этого предполагается, что эффективными лазерными системами (за счет большой скорости ПЭн) могут быть смеси $\text{N}_2(A)$ с JF, JCI или JBrg. Сообщ. I см. «J. Chem. Phys.», 1983, 79, 254.

В. П. Булатов

на
тани:

Bz_2

1984

Dyke J. M., Josland G. D.,
et al.

pacient
cl. n.,
J;

Chem. Phys., 1984,
91, N3, 419-424.

(ccs. F_2 ; II^+)

β_{S_2}

1984

Горшков А.П.

Teop. и эксперим. химия,
1984, 20, №2, 212-215.

расчет
зр;

● (all. №2, III)

Br₂

1984

10 Б1144. Спектроскопическое исследование ионно-парного состояния $D(O_u^+)$ Br₂ методом двойного оптического резонанса. A spectroscopic study of the $D(O_u^+)$ ion-pair state of Br₂ by the optical-optical double-resonance technique. Ishiwata Takashi, Tokunaga Atsuto, Shinzawa Tsutomu, Tanaka Ikuzo. «J. Mol. Spectrosc.», 1984, 108, № 2, 314—327 (англ.)

Методом двойного оптич. резонанса исследовано состояние $D(O_u^+)$ молекулы Br₂ коррелирующее с парой ионов Br[−](¹S) + Br⁺(³P₂). Использовались два импульсных перестраиваемых лазера на красителях с общей накачкой (XeCl-лазер), один из к-рых возбуждал переходы на отдельные уровни состояния $B^3\Pi(O^+)$ ($v' = -9-21$, $I' \leftarrow v'' = 0,1$, I''), а второй — переходы с накачиваемых уровней состояния B на уровни состояния $D(O_u^+)$ ($v = 0-16$, I). Регистрировалась УФ-флуоресценция (переходы $D \rightarrow X$, $v'' < 55$) либо интегральная (область 240—300 нм, широкополосный фильтр), либо

м.н.

X, 1985, 19, N 10

спектрально разрешенная (область 200—300 нм). Для упрощения спектра использовался моноизотопный образец брома ($^{79}\text{Br}_2$). Дан перечень исследованных двойных переходов и их отнесение. Значения коэф. Данхема $^{79}\text{Br}_2(D)$ (в см^{-1}): $Y_{00}(\sim T_e) = 49928,443$, $Y_{10}(\sim \omega_e) = 134,467$, $Y_{20} = -8,71 \cdot 10^{-2}$, $Y_{30} = -3,36 \cdot 10^{-3}$, $Y_{01}(\sim B_e) = 4,2382 \cdot 10^{-2}$, $Y_{11} = -1,061 \cdot 10^{-4}$, $Y_{21} = -2,00 \cdot 10^{-6}$, $Y_{02} = -1,93 \cdot 10^{-8}$, $R_e = 3,175 \text{ \AA}$. Приведены значения $G(v)$, R_{\min} , R_{\max} , потенциально кривой РКР для состояния $D(\text{O}_u^+)$ ($v=0-16$). В. М. Ковба

ыми

1984

Br₂
6 Л232. Спектроскопическое изучение ионного состояния $D(0_u^+)$ молекулы Br₂ методом двойного оптического резонанса. A spectroscopic study of the $D(0_u^+)$ ion-pair state of Br₂ by the optical-optical double-resonance technique. Ishiwata Takashi, Tokunaga Atsuto, Shinzawa Tsutomu, Takanaka Ikuo. «J. Mol. Spectrosc.», 1984, 108, № 2, 314—327 (англ.)

Методом двойного оптич. резонанса изучены спектроскопич. свойства возбужденного состояния $D(0_u^+)$ молекулы Br₂. Ионное состояние $D(0_u^+)$, недоступное для прямого оптич. возбуждения, заселяли в двухстадийном резонансном процессе поглощения с участием промеж. состояния $B^3\Pi(0_u^+)$ излучением двух импульсных перестраиваемых лазеров. Из анализа большого числа переходов в спектрах возбуждения флуоресценции и спектре флуоресценции $DO^+ - X^1\Sigma_g^+$

φ 1985, 18, № 6.

получены спектроскопич. постоянные состояния $D(0_u^+)$. Отмечены многочисленные вращательные возмущения для переходов с колебательных уровней $v = -2$ и 3 состояния $D(0_u^+)$, возникающие вследствие пересечения потенц. кривых ионных состояний $D(0_u^+)$ и I_u молекулы Bg_2 .

Е. Н. Т.

1984

Br₂

101: 237526t A spectroscopic study of the $D(0_u^+)$ ion-pair state of molecular-bromine (Br_2) by the optical-optical double-resonance technique. Ishiwata, Takashi; Tokunaga, Atsuto; Shinzawa, Tsutomu; Tanaka, Ikuzo (Dep. Chem., Tokyo Inst. Technol., Tokyo, Japan 152). *J. Mol. Spectrosc.* 1984, 108(2), 314-27 (Eng). An optical-ODR(OODR) technique was applied to study the $D(0_u^+)$ ion-pair state of Br_2 in a 1-photon resonant 3-photon absorption. The OODR transition proceeds through the high vibrational level of the $B^3\Pi(0_u^+)$ state, which compromises a large Franck-Condon shift required for the excitation of Br_2 from the $X^1\Sigma_g^+$ state to the $D(0_u^+)$ state. Dunham parameters of the $D(0_u^+)$ state, based on a global least-squares fit of 407 transitions ($v' = 0\text{-}16$, $J' = 17\text{-}115$), are $Y_{00} = 49928.443(41)$, $Y_{10} = 134.467(19)$, $Y_{20} = -8.71(27) \times 10^{-2}$, $Y_{30} = -3.36(10) \times 10^{-3}$, $Y_{01} = 4.2382(15) \times 10^{-2}$, $Y_{11} = -1.061(36) \times 10^{-4}$, $Y_{21} = -2.00(27) \times 10^{-6}$, and $Y_{02} = -1.93(11) \times 10^{-8}$ for $^{79}Br_2$ (all in cm^{-1} , and 3σ in parentheses). The single rovibronic fluorescence spectrum of the $D(0_u^+)$ state shows a transition terminating on the $X^1\Sigma_g^+$ ground state, and establishes the abs. v' numbering on the basis of the Franck-Condon factor calcns. The $v' = 2$ and 3 levels of the $D(0_u^+)$ state are strongly perturbed due to the heterogeneous interaction with the 1_u state correlating with the same ionic products of the $D(0_u^+)$ state at the dissociation limit, $Br^-(^1S) + Br^+(^3P_2)$.

(ll-n. Ou^+)
ORNUKO-ONUR.
gboñteoñe peñorarc

C.A. 1984, 101, N 26.

Br₂

1984

22 Б1177. Анализ ионно-парного состояния $E0_g^+$ брома методом ступенчатого возбуждения. An analysis of the $E(0_g^+)$ ion-pair state of bromine through step-wise excitation technique. Ishiwata Takashi, Tokunaga Atsuto, Shinzawa Tsutomu, Tanaka Ikuzo. «Bull. Chem. Soc. Jap.», 1984, 57, № 5, 1317—1320 (англ.)

Измерены спектры флуоресценции молекул Br_2 из состояния $E0_g^+$ в состояние $B_3\Pi(0_u^+)$ возбуждаемые в результате двухступенчатого последовательного возбуждения молекул по схеме $X^1\Sigma_g^+ \rightarrow B^3\Pi(0_u^+) (v, J) \rightarrow E0_g^+ (v', J')$. Дан перечень возбуждаемых переходов. Значения мол. постоянных ${}^{79}\text{Br}_2(E)$ (в см^{-1} , r_e в Å): $T_e = 49778,53$, $\omega_e = 150,78$, $\omega_{ex_e} = 0,41$, $B_e = 0,04180$, $\alpha_e = 1,47 \cdot 10^{-4}$, $D = 1,28 \cdot 10^{-7}$, $r_e = 3,197$. Значение r_e получено в результате франк-кондоновского анализа распределения интенсивности переходов.

Х. 1984, 19, № 22

в спектрах (состояние B — потенциал РКР, состояние E — ф-ция Морзе); a_e и D получены по известным ф-лам исходя из значений B_e , ω_e , $\omega_e x_e$. Состояние $E0_g^+$ коррелирует с парой $\text{Br}^-(^1S) + \text{Br}^+ (^3P_2)$. Аналогичное исследование проведено для молекулы $\text{Cl}_2(E)$. («Chem. Phys. Lett.», 1984, 107, 434). В. М. Ковба



Br₂

Он. 1985

1984

24 Б1163. Возбуждение брома методом двойного оптического резонанса в новое ионно-парное состояние $D(0_u^+)$. An optical-optical double resonance excitation of bromine to a new $D(0_u^+)$ ion-pair state. Ishiwata Takashi, Tokunaga Atsuto, Shinzawa Tsumoto, Tanaka Ikuzo. «Bull. Chem. Soc. Jap.», 1984, 57, № 6, 1469—1472 (англ.)

Методом двойного оптич. резонанса исследовано новое возбужденное электронное состояние $D0_u^+$ молекулы Br_2 , коррелирующее, по-видимому, с парой ионов $Br^-(^1S) + Br^+(^3P_2)$. Возбуждение молекул осуществлялось одновременно двумя синхронно накачиваемыми лазерами на красителях, излучение к-рых пропускалось через оптич. ячейку в противоположных направлениях. Частота одного лазера (накачивающего, v_1) настраивалась на переходы в системе $B^3\Pi(0_u^+) — X^1\Sigma_g^+$ в области 583 нм [линии $P(25)$ и $R(29)$ полосы 9—0 и

спектр, Di,

м.н.

X. 1984, 19, № 24

P(71) полосы 10—0]. Излучение второго (пробного, v_2) лазера перестраивалось в диапазоне 600—660 нм и возбуждало двухфотонные переходы с накачиваемых уровней состояния B в ионно-парное состояние D . Регистрировалась УФ-флуоресценция в области 240—290 нм. Найдено, что пробный лазер индуцирует три типа переходов: v_1+2v_2 , $v_1+(v_1+v_2)$ и v_2+2v_2 . Идентифицировано свыше ста колебательно-вращательных уровней состояния D с $v=0—8$ и $J=6—78$. Значения мол. постоянных $^{79}\text{Br}_2(DO_u^+)$ (в см $^{-1}$): $I_e=49924,4$, $\omega_e=135,7$, $\omega_e=0,27$, $B_e=0,04190$, $\alpha_e=5,9 \cdot 10^{-5}$. В. М. К.

соп.

Br₂

(O.M. 19855)

1984

101: 62767 A double-resonance double resonance excitation of the $B^3\Pi(0_u^+)$ doublet state. Ishizuka, Nakamura, Saito, and Yamamoto; Tanaka, Ito, and Nagasawa, Jpn. J. Phys., 1982, 152, 1499-72 (Eng.). An optical absorption technique utilizing a sequence of pulsed lasers was used to study the electronic structure of the $B^3\Pi(0_u^+)$ state and subion-pair states. Multaneous 2-photon transitions were used to excite the molecule from therovibronic levels of the $B^3\Pi(0_u^+)$ state and subion-pair states. The multaneous 2-photon transition excitation spectra showed a no. of transitions consisting of O , Q , and C branches which combine the $B^3\Pi(0_u^+)$ state and subion-pair state designated $D(0_u^+)$. The following spectroscopic constants of the $D(0_u^+)$ state were detd. for the $^{79}\text{Br}_2$ isotope: $\omega_c = 49925.4(6)$, $\omega_e = 135.7(3)$, $\omega_c x_e = 1.17(3)$, $B_e = 0.43(1)$, $5.9(23) \times 10^{-4}$ cm².

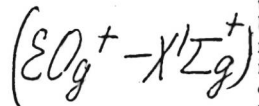
M.N., D0u⁺

C.A. 1984, 101, N8

Br₂

Oct 19453 1984

101: 30552c An analysis of the $E(0_g^+)$ ion-pair state of bromine through stepwise excitation technique. Ishiwata, Takashi; Tokunaga, Atsuto; Shinzawa, Tsutomu; Tanaka, Ikuzo (Dep. Chem., Tokyo Inst. Technol., Tokyo, Japan 152). *Bull. Chem. Soc. Jpn.* 1984, 57(5), 1317-20 (Eng). The pulses of the fundamental and its frequency doubled outputs from a tunable dye laser were used to promote a stepwise excitation of the $E(0_g^+)-X^1\Sigma_g^+$ transition through the $B^3\Pi(0_u^+)$ state in Br_2 . The double resonance is detected by the assocd. UV emission which originates from the $E(0_g^+)$ state radiating back to the $B^3\Pi(0_u^+)$ state. The $E(0_g^+)$ state was analyzed in detail on the basis of the selection rules of 2 transition components and the $E-B$ fluorescence spectrum. The mol. parameters were $T_e = 49,778.5 \text{ cm}^{-1}$, $\omega_e = 150.8 \text{ cm}^{-1}$, $\omega_{ex_e} = 0.41 \text{ cm}^{-1}$, and $r_e = 3.197 \text{ \AA}$ for the $^{79}\text{Br}_2$ isotope species.



c.A.1984, 101, N 4

Br₂

1984

5 Д55. Идентификация нового состояния молекулы Br₂, образованного из ионных пар, методом последовательного двухатомного возбуждения. Identification of a new ion-pair state of Br₂ by a sequential two-photon excitation technique. Ishiwata Takashi, Ohtoshi Hiroyuki, Tanaka Ikuzo. «J. Chem. Phys.», 1984, 81, № 5, 2300—2304 (англ.)

Методом последовательного двухфотонного возбуждения из основного через Br^{3P₀ +} возбужденное состояние идентифицировано новое высоколежащее возбужденное состояние молекулы Br₂, коррелирующее с ионным Br^{-(1S)} + Br^{+(3P₀)} состоянием фрагментов. Анализ полученных спектров излучений как функции энергии возбуждения позволил отнести это состояние к типу f(O_g⁺). Спектроскопич. константы этого состояния для ⁷⁹Br₂ оказались равными T_e = 53101,7 см⁻¹, ω_e = 152,8 см⁻¹, ω_ex_e = 0,42 см⁻¹, B_e = 0,04260 см⁻¹ и r_e = 3,167 Å.

А. А. Зембеков

cf. 1985, 18, n 5

1984

B2
5 Б1154. Идентификация нового ионно-парного состояния Br_2 методом последовательного двухфотонного возбуждения. Identification of a new ion-pair state of Br_2 by a sequential two-photon excitation technique. I shiwata T akashi, O htoshi H irokazu, T anaka I ku zo. «J. Chem. Phys.», 1984, 81, № 5, 2300—2304 (англ.)

M.N.
Методом последовательного двухфотонного возбуждения через состояние $B^3\Pi(0_u^+)$ идентифицировано новое состояние $f(0_g^+)$ молекулы Br_2 , коррелирующее с парой ионов $\text{Br}^-(^1S) + \text{Br}^+(^3P_0)$. Излучение импульсного перестраиваемого лазера (520—570 нм ширина полосы возбуждения $\sim 0,1$ А) расщеплялось на 2 луча, в одном из к-рых оно затем удваивалось по частоте и оба пучка объединялись и вводились в оптич. ячейку. Схема возбуждения — $X^1\Sigma_g^+ (v''=0-2, J'') \rightarrow B^3\Pi(0_u^+) (v=13-22, J') \rightarrow f(0_g^+) (v=0-9, J)$. Регистрировалась УФ-флуоресценция ($\sim 270-285$ нм), связанная с переходом $f \rightarrow B$. Для определения B_e и r_e проведен

X. 1985, 19, N5

франк-кондоновский анализ распределения интенсивности линий в спектрах Фл с различных уровней состояния $f(0_g^+)$. При этом использовался потенциал РКР для состояния B и потенциал Морзе для состояния f . Значения молек. постоянных $^{79}\text{Br}_2(f0_g^+)$ (в см $^{-1}$): $T_a = 53101,7$, $\omega_e = 152,8$, $\omega_e x_e = 0,42$, $B_e = 0,04260$, $\alpha_e = 1,5 \cdot 10^{-4}$, $D_e = 1,3 \cdot 10^{-8}$, $r_e = 3,167$ А. В. М. Ковба

и
еще

Br₂

1984

1 Л368. Разрешенная по углу и спину фотоэлектронная спектроскопия некоторых галогенсодержащих молекул. Angle- and spin resolved photoelectron spectroscopy on some halogen molecules. Kaesdorf S., Schönhense G., Heinzmann U. «Vac. Ul'violet Radiat. Phys., VUV VII. Proc. 7 Int. Conf., Jerusalem, Aug. 8—12, 1983. Vol. 6». Bristol; Jerusalem; 1984, 179—181 (англ.)

Методом разрешенной по углу фотоэлектронной спектроскопии исследованы молекулы Br₂, J₂, CH₃Br и CH₃J. Для возбуждения использовалось резонансное излучение инертных газов Ar, Ne и He. Анализ спектров позволил авторам рассчитать величины параметра анизотропии углового распределения фотоэлектронов и степень их спиновой поляризации. М. Т.

спектр

(73) X

о/п. 1986, 18, N 1

Br_2

1984

Yonkhuyzen H., De Lange
C. A.

u. n.

Chem. Phys., 1984, 89,
N^o, 313 - 322.

(Cat. F_2 ; $\underline{\text{II}}$)

Bz₂

1984

McLoughlin R. G.,
Morrison J. D., et al.

Int. J. Mass Spectrom. and

Kuball
romes. Ion Process., 1984, 58; Fun-
Huppert
dam. Aspects Gas Phase Ion
Processes. Collect. Invited Pap.
Dedicated Mem. H. M. Roseh-
stock (1928-1982), 201-215.

(See. Cl₂; III)

Br₂

Om. 20062

1984

(Ae)

101: 216688g Molecular beam study of the chemi-ionization in the reactive scattering of calcium and strontium with molecular chlorine and molecular bromine at collision energies $E_{c.m.} < 4.5$ eV. Meyer, H. J.; Schulze, T.; Ross, U. (Fak. Phys., Univ. Bielefeld, D-4800 Bielefeld, Fed. Rep. Ger.). *Chem. Phys.* 1984, 90(1-2), 185-94 (Eng). Integral cross sections were detd. for the reactive scattering of the chemiionization $M + X_2 \rightarrow MX^+ + X^-$ ($M = Ca, Sr; X = Cl, Br$) in a crossed mol. beam expt. in the collision energy range $E_{c.m.} < 4.5$ eV. The reactions are endothermic. Chemiionization products are obsd. just above their energetic threshold without indication of activation energies. It is assumed that the collision-parameter region (peripheral collisions vs. central collisions) plays a key role for the reaction dynamics. There is evidence that the chemiionization products are preformed in central collisions. Ionization energies of the alk. earth monohalides $J(MX)$ and the dissociation energies of the corresponding ions $D_0(MX^+)$ are estd. The exptl. observation of the charge-transfer process $Ca + Br_2 \rightarrow Ca^+ + Br_2^-$ at higher collision energy ($E_{c.m.} > 3$ eV) yields an adiabatic electron affinity of 2.65 eV for Br_2 .

-C. A. 1984, 101, N 24.

Br_2

(OM. 20786)

1984

Powell B.M., Heal K.M.,
et al.

(2) Mol. Phys., 1984, 53, N.Y.,
929 - 939.

Br₂

[DM · 19225)

1984

ромеку.
кривое,
коэффици-
енты
связи.
С5 и С6 ка-
бельных
расст. для
возд. расст.

Saupe et al.,
Mol. Phys., 1984,
51, N 6, 1459–1474.

Br_2

1984

Shaw D.A., Cvejanović
Danica, et al.

чекмпб
ромепб
степен
зекмпб-
кооб

J. Phys. B: Atom. and
Mol. Phys., 1984, 17,
N6, 1173-1187.
(see. HCl; III)

Br₂

дн. 19476

1984

24 Б1165. Спектроскопическое исследование ионно-парного состояния $F(O_u^+)$ Br_2 методом двойного резонанса. A spectroscopic study of the $F(O_u^+)$ ion-pair state of Br_2 by the double resonance method. Shinzawa Tsutomu, Tokunaga Atsuto, Ishiwata Takashi, Tanaka Ikuzo, Kasatani Kazuo, Kawasaki Masahiro, Sato Hiroyasu. «J. Chem. Phys.», 1984, 80, № 12, 5909—5915 (англ.)

Методом двойного оптич. резонанса исследовано новое ионно-парное электронное состояние $F(O_u^+)$ молекулы Br_2 . Использовался моноизотопный бром ($^{79}Br_2$), спектры возбуждались двумя перестраиваемыми лазерами на красителях с различной поляризацией излучения. Первый (v_1) возбуждал переходы в системе $B^3\Pi(O_u^+) - X^1\Sigma_g^+$ (~580 нм), второй (v_2) — двухфотонные ($2v_2$) переходы из состояния B в новое ионно-парное состояние. Регистрировалась УФ-флуоресценция в области 240—290 нм. Тип симметрии возбужденного состояния F установлен на основании анализа зависимости интенсивности линий O , Q и S ветвей от взаимной поляризации накачивающего и пробного излучения лазеров. Приведены значения T_v и B_v $Br_2(F, v)$ ($v =$)

спектр,

и. д.

Х. 1984, 19;
N 24

=0—13). Равновесные мол. постоянные равны (в см^{-1}): $T_e = 53899,6$, $\omega_e' = 155,8$, $\omega_e'x_e' = 0,80$, $B_e' = 0,03980$, $\alpha_e' = 1,34 \cdot 10^{-4}$, $r_e' = 3,276$ А. Состояние F , как предполагается, коррелирует с парой ионов $\text{Br}^+({}^3P_0) + \text{Br}^-({}^1S)$. В спектре флуоресценции кроме перехода $F-X$ наблюдались еще три (I—III) системы, связанные с переходами из состояния F в низколежащие валентные состояния. В области 266—280 нм выделены две перекрывающиеся системы (I, II), одна из к-рых (II), по-видимому, связана с переходом в отталкивательное состояние, коррелирующее с двумя атомами $\text{Br}({}^2P_{3/2})$. Все пики в системе I не образуют (возможно из-за взаимодействия нижних электронных состояний I и II) регулярную прогрессию, хотя положение нек-рых из них может быть грубо описано выражением $v = 16\,527 + 162,1n - 1,16n^2$ ($n = 0—18$, v в см^{-1}). Система III проанализирована. Значения T_e , ω_e'' , $\omega_e''x_e''$ (в см^{-1}) и r_e'' (в А): 19319,4, 65,5, 2,80, 3,43. Абс. нумерация по v'' и значение r_e'' оценены на основании франк-кондонаовского анализа распределения интенсивности в системе. Полученные результаты (T_e , ω_e , $\omega_e x_e$, B_e , r_e) сопоставлены со значениями молек. постоянных др. известных ионно-парных состояний Br_2 , а также состояний X и B .

В. М. Ковба

Br₂

Om. 19476 } 1984.

101: 45626d A spectroscopic study of the F(O_u⁺) ion-pair state of molecular bromine by the double resonance method. Shinzawa, Tsutomu; Tokunaga, Atsuto; Ishiwata, Takashi; Tanaka, Ikuo; Kasatani, Kazuo; Kawasaki, Masahiro; Sato, Hiroyasu (Dep. Chem., Tokyo Inst. Technol., Tokyo, Japan 152). *J. Chem. Phys.* 1984, 80(12), 5909-15 (Eng). A new ion-pair state of Br₂ was obsd. by an optical-optical double resonance (OODR) technique utilizing UV fluorescence detection. The OODR excitations proceed in an 1-photon resonant 3-photon absorption through the B³Π(O_u⁺) state. The effects of polarization on the transition strengths were used to det. the symmetry of excited mol. state formed by 2-photon absorption from the B state. The results indicate that the new state has the O_u⁺ symmetry with $T_e = 53,899.6(7)$ cm⁻¹, $\omega_e = 155.8(2)$ cm⁻¹, and $r_e = 3.276(8)$ Å for ⁷⁹Br₂. This state is expected to correlate with Br^{+(3P₀)} + Br^{-(1S)} and named F(O_u⁺) after the well-defined I₂ mol. The single rovibronic fluorescence spectra of the F(O_u⁺) state show several transitions terminating on low-lying valence states.

M.N.

c.A.1984, 101, N6

Br₂

1984

B³P_{0+u}-X¹S_{g+}

102: 14413y Free jet-laser excitation fluorescence spectroscopy of complexes between neon and bromine. Swartz, Barry A.; Brinza, David E.; Western, Colin M.; Janda, Kenneth C. (Arthur Amos Noyes Lab. Chem. Phys., California Inst. Technol., Pasadena, CA 91125 USA). *J. Phys. Chem.* 1984, 88(25), 6272-7 (Eng). Fluorescence excitation spectra were measured for complexes of Ne and Br₂ contg. up to 4 Ne atoms. The van der Waals mols. were synthesized in a free-jet expansion and excited with tunable excimer-pumped dye laser radiation. Features attributable to van der Waals complexes by virtue of their intensity dependences on mol. beam stagnation pressure appear to the blue of band origins for the $B^3\text{IIo}^+ - X^1g\Sigma_g^+$ transition of all 3 isotopic species of Br₂. Spectra were recorded for transitions (11-0) through (30-0) of Br₂, showing that the spectral shifts of the complexes relative to the Br₂ band origins increase with increasing v' . NeBr₂ shifts range from 5.5 to 8.8 cm⁻¹. The spectral widths of the van der Waals features also increase with v' from a laser bandwidth limited value of 0.10 cm⁻¹ for NeBr₂ (16-0) to 3.1 cm⁻¹ for (27-0). This indicates a greater than order of magnitude change in the lifetimes of these complexes with level of vibrational excitation which is discussed in relation to recent theories on the dynamics of weakly bound systems. Ests. of 73 and 64 cm⁻¹ were obtained for the van der Waals bond dissociation energy for the ground and excited electronic states, resp., of NeBr₂.

C.A. 1985, *102*, N^o. 41

NeBr₂ (Do)

Br

1985

1 Б1194. Парная рекомбинация и релаксация молекулярного брома. Geminate recombination and relaxation of molecular bromine. Abul-Haj N. Alap, Kelleay David F. «Chem. Phys. Lett.», 1985, 119, № 2—3, 182—187 (англ.)

Методом абсорбционной спектроскопии с пикосекундным разрешением исследована динамика процессов рекомбинации и релаксации молек. брома в р-ре CCl_4 (0,05 М) при комн. т-ре. Молекулы Br_2 возбуждали на высоколежащие колебат. уровни состояния $B^3\Pi_0$ под действием излучения импульсного лазера (532 нм, 25 пс). Вблизи минимума потенциальная кривая состояния $B^3\Pi_0$ пересекается с отталкиват. потенциальной кривой состояния $^1\Pi_u$. Образующиеся в результате предиссоциации атомы Br с низкой энергией могут рекомбинировать, давая молекулы Br_2 в состояниях $A^3\Pi_{1u}$, $A'^3\Pi_{2u}$, $X^1\Sigma_g$. Найдено, что при этом в состоянии

справка

X.1986, 19, N 1

$A'^3\Pi_{2u}$ находится около 60% образующихся молекул. При комн. т-ре время жизни $\text{Br}_2(A'^3\Pi_{2u})$ составляет 5,5 пс. Полная колебат. релаксация молекул $\text{Br}_2(X^1\Sigma_g)$ происходит за ~ 140 пс. Полученные данные сопоставлены с результатами аналогичного рода исследований молекулы J_2 .

В. М. Ковба

Bz₂

1985

Chau F.T., McDowell C.A.

Cret. rocks, Z. Mol. Struct.

y, 5e; 1985, 129(1-2),
169-73.

(Cret. F₂; III)

Br₂

1985

10 Д110 ДЕП. «Распределение интенсивностей в спектре связанных-несвязанных электронных переходов двухатомных молекул. II. Численные методы. Алгоритмы расчета прямой и обратной задачи». Еремин В. В., Кузменко Н. Е. Ред. Ж. Вестн. МГУ. Химия. М., 1985. 23 с., ил. Библиогр. 9 назв. (Рукопись деп. в ВИНИТИ 16 июля 1985 г., № 5072-85 Деп).

теор. расчет

Показано, что численное решение ур-ния Шредингера является единственным практич. способом расчета интенсивностей связанных-несвязанных электронных переходов. Созданы алгоритмы численного решения прямой и обратной задачи. Для расчета волн. ф-ций при решении прямой задачи используется разностная схема Нумерова, при этом несвязанная волн. ф-ция нормируется на ВКБ-ф-цию. Для решения обратной задачи используется метод Чайлда. Расчет $^1\Pi_u - ^1\Sigma_g$ перехода молекулы Br₂ показал хорошую точность и воспроизводимость созданных программ.

Автореферат

ф. 1985, 18, № 10

B_r₂

1985

Kryachko Eugene S.

cl.n.

Chem. Phys. Lett., 1985,
116, N5, 411-414.

(cell. ZnH₂ III)

Br₂

1985

3 Б1133. Спонтанная предиссоциация брома в состоянии $B^3\Pi(O_u^+)$. Зависимость предиссоциации уровня $v=7$ от вращательного состояния. The spontaneous predissociation of bromine $B^3\Pi(O_u^+)$ state. Rotationally-dependent predissociation in the $v=7$ level. Martinez E., Heaven M. C. «17th Eur. Congr. Mol. Spectrosc., Madrid, 8—13 Sept., 1985: EUCMOS XVII. Abstr.» S. I., s. a., Р—43 (англ.)

Измерены времена жизни (τ_0) отдельных вращательных уровней (I') молекул $^{79}\text{Br}_2$, $^{79}\text{Br}^{81}\text{Br}$, $^{81}\text{Br}_2$ в состоянии $B^3\Pi(O_u^+)$ ($v'=7$) в отсутствие столкновений (соответствующие диапазоны значений I' — 6—62, 6—71, 14—72). Спектры возбуждались в обл. 640 нм импульсным узкополосным ($0,04 \text{ см}^{-1}$) лазером на красителе. Сильная зависимость $1/\tau_0$ от I' объясняется гетерогенной предиссоциацией молекул в возбужденном состоянии, связанной с отталкиванием состоянием $^1\Pi(1_u)$. В. М. Ковба

*спонтанная
предиссоц.*

($B^2\Pi(O_u^+)$)

ж. 1986, 19, № 3

Br₂

От. 21847

1985

9 Л216. Эмиссионный спектр перехода $A'^3\Pi(2_u) - X^1\Sigma_g^+$ молекулы Br₂ в аргоновой матрице. The $A'^3\Pi(2_u) - X^1\Sigma_g^+$ emission spectrum of Br₂ in an argon matrix. Nicolai Jean-Philippe, Van De Burgt Lambertus J., Heaven Michael C. «Chem. Phys. Lett.», 1985, 115, № 6, 496—500 (англ.)

Спектр испускания молекулы Br₂ в Аг-матрице в области 700—1600 нм возбуждался излучением лазера на красителе в области 490—550 нм. Короткоживущая компонента спектра (коэф. затухания $k = 1,5 \cdot 10^4 \text{ с}^{-1}$) отнесена к переходу $A^3\Pi(1u) - X^1\Sigma_g^+$, долгоживущая ($k = 91 \text{ с}^{-1}$) к переходу $A'^3\Pi(2u) - X^1E_g^+$. Определены значения электронных термов T_e для A и A' состояний, равные $(12679 \pm 8) \text{ см}^{-1}$ и $(12966 \pm 8) \text{ см}^{-1}$ соответственно. При обсуждении механизма возбуждения состояний A и A' указано, что в отличие от прежних представлений фотодиссоционный механизм играет малую роль при длине волны возбуждающего света более 500 нм как для исследованной молекулы Br₂, так и для молекулы Cl₂ в Аг-матрице.

M. A.

оф. 1985, 18, № 9

Br₂

от 21.487

1985

17 Б1163. Спектры испускания Br₂ в области перехода A' $^3\Pi(2u)$ —X $^1\Sigma_g^+$ в аргоновых матрицах. The A' $^3\Pi(2u)$ —X $^1\Sigma_g^+$ emission spectrum of Br₂ in an argon matrix. Nicolai J.-P., van de Burgt L. J., Heavens M. C. «Chem. Phys. Lett.», 1985, 115, № 6, 496—500 (англ.)

Измерены спектры в обл. 490—550 нм флуоресценции молекул Br₂, возбуждаемых перестраиваемым лазером изолированных в Аг-матрицах при 15 К (разбавление 1 : 1000). В спектрах обнаружено 3 системы полос, связанных с переходами из нулевых колебат. уровней верхних состояний: B—X, A—X и A'—X. В последнем случае подтверждено выполненное ранее отнесение полос и в предположении двух вариантов колебат. нумерации оценена величина T_e, равная 12 966 ± 8 или 12 679 ± 8 см⁻¹. Механизм фотодиссоциации не играет существенной роли в заселении состояния A' при возбуждении выше 500 нм. Состояние A' заселяется, в основном, за счет переноса энергии из состояния A, скорость к-рого больше скорости радиц. распада состояния A.

С. Б. Осин

Di, M. N;

X. 1985, 19, N 17

Br_2

1985

[Om. 21487]

102: 228772p The $A^3\Pi(2_u) - X^1\Sigma_g^+$ emission spectrum of molecular bromine in an argon matrix. Nicolai, Jean Philippe; Van de Burgt, Lambertus J.; Heaven, Michael C. (Dep. Chem., Illinois Univ. Technol., Chicago, IL 60616 USA). *Chem. Phys. Lett.* 1985, 115(6), 496-500 (Eng). The emission spectrum of the $A^3\Pi(2_u) - X^1\Sigma_g^+$ system of Br_2 in an Ar matrix is reported. The vibrationally resolved spectra were analyzed and 2 possible vibrational numberings were detd. These provide ests. for T_c of $12,966 \pm 8$ and $12,679 \pm 8 \text{ cm}^{-1}$, resp. Excitation spectra were examd., and these provide insight into the excitation and relaxation mechanisms present in the matrix.

$(A^3\Pi(2_u) - X^1\Sigma_g^+)$

check w/ Ar
lamps use

C.A. 1985, 102, N 26

Br_2

1985

On 23940

104: 42420h Photoselection study of the bromine molecule A → X emission system in an argon matrix. Nicolai, Jean Philippe; Heaven, Michael C. (Dep. Chem., Illinois Inst. Technol., Chicago, IL 60616 USA). *J. Chem. Phys.* 1985, 83(12), 6538-9 (Eng). A fluorescence photoselection study of the Br_2 A-X system excited by 532-nm radiation using the linearly polarized 2nd harmonic from a Nd/YAG laser confirmed that the direct excitation mechanism is dominant at 532 nm. The accounting for the obsd. relative population in the A and B states is discussed. Since the B state is more efficiently excited, a substantial fraction of the population from the B state must flow out into other states during the vibrational relaxation process.

(A → X)
6 manganese
Ar

c. A. 1986, 104, N. 6

B₇₂

DM. 21566)

1985

Siefse M., Tienann E.,
et al.,

B³N_{out}

наносы.
и спектр
как спик
мета

Chem. Phys. lett., 1985,
117, N 3, 208-213.

Br₂

1985

9 Б1147. Об использовании полуклассической динамики в определении электронного спектра Br₂ в аргоновой матрице. On the use of semiclassical dynamics in determining electronic spectra of Br₂ in an Ar matrix. Thirumalai D., Bruskin E. J., Beme B. J. «J. Chem. Phys.», 1985, 83, № 1, 230—238 (англ.). Место хранения ГПНТБ СССР

Выполнен полуклассич. анализ динамики многих тел в полуклассич. приближении. Модельная система (молекула Br₂ в окружении 106 атомов Ar в условиях матричной изоляции) исследована методом замороженных гауссовых пакетов. Найденная нестационарная волновая ф-ция использована для вычисления ф-ции корреляции дипольного момента перехода X—A в молекуле Br₂. Два состояния Br₂ описывались осциллятором Морзе, взаимодействия Ar с Br₂ парными Пт Леннард-Джонса. Вычисл. спектр отличается от огибающей спектра Br₂ в газовой фазе, что приписано проявлению релаксац. эффектов в матрице. Метод не обе-

*спектр
в
матрице*

X. 1987, 19, N 9

спечивает высокого разрешения спектра вследствие недостаточной точности использованной многочастичной ф-ции. Вместе с тем, использование более гибкого базиса (размороженных гауссовых пакетов) только ухудшает результат вследствие быстрого расплывания ф-ции при ее движении в обл. сильной ангармоничности. Указана возможность уточнения результата при использовании с самосогласованных ур-ний движения.

Е. Е. Никитин

Br₂

[Om. 23814]

1985

Thirumalai D., Bruskin E.J., Berne B.J.,

Cheung
Lam-
puze,
We, Wele

J. Chem. Phys., 1985,
83, N1, 230-238.

Br₂

[DM. 21274]

1985

Trautwein A. X.,
Lauer S., et al.,

Zeolimpus,
cerobore
nocturnum
parvum.

Theor. chim. acta,
1985, 67, N3, 175-185.

1985

Bz2

6 Л291. Спектры резонансного комбинационного рас-
сения с временным разрешением дигалогенидных ани-
он-радикалов в водном растворе. Time-resolved resonan-
ce Raman spectra of dihalide radical anions in aqueous
solution. Tripathi G. N. R., Schuler R. H., Fes-
senden R. W. «Chem. Phys. Lett.», 1985, 113, № 6,
563—568 (англ.)

D_i, ll·n, Do

Получены спектры резонансного комб. рас. (100—
2100 см⁻¹) анион-радикалов галогенов X_2^- ($X=Cl, Br,$
 J), образованных в водном растворе при импульсном
радиолизе солей NaX и KX , и возбуждении рассеяния
задержанными во времени лазерными импульсами с
 $\lambda=359—380$ нм, резонирующими с электронной поло-
сой $^2\Sigma_g^+ \leftarrow ^2\Sigma_u^+$ анион-радикалов X_2^- . Рассчитаны частоты гармонич. колебаний X_2^- , равные 273, 167 и 115 см⁻¹ при $X=Cl, Br$ и J соответственно. Выполнена оценка ангармоничности колебательных движений X_2^- . Опреде-
лена энергия диссоциации X_2^- . Отмечено, что энергия диссоциации X_2^- составляет ~65% от энергии диссо-
циации соответствующих нейтральных молекул. Обсуж-
дено влияние сольватации на параметры диссоциации X_2^- в растворе.

И. В. А.

φ 1985, 18, N6.